

УДК 621.383.523

А.С. Задорин, Д.А. Махорин

## Статистическая обработка сигналов в системах квантового распределения ключей

Предложена модель усиления протокола квантового распределения ключей (КРК) за счет мониторинга статистики уровней ошибок, скорости генерации ключа и распределения квазиоднофотонных состояний в квантовом канале. Установлены границы безопасных зон работы квантового канала для различных типов атак.

**Ключевые слова:** система квантового распределения ключей, зоны безопасной генерации ключа, PNS-атака.

На развитие методологии построения безусловно защищенных систем конфиденциальной связи в последние полтора десятилетия заметное влияние оказали идеи использования квантовых объектов для генерации секретного ключа удаленными пользователями А и Б [1–3]. Системы, построенные на этих идеях, в литературе принято называть системами квантового распределения ключей (КРК) [4–6]. Безусловная секретность генерируемых системами КРК ключей основана, как известно, на фундаментальных запретах квантовой механики на копирование неортогональных состояний квантовых объектов, в качестве которых, как правило, предполагается использование одиночных фотонов оптического диапазона волн. Детектирование попыток подслушивания в таких системах обеспечивается за счет динамического мониторинга нескольких показателей – вероятности ошибок  $P_f$ , скорости генерации первичного ключа  $B$ , а также распределения вероятности числа фотонов  $p(n)$  в сигнальных посылках. При этом абсолютный уровень криптозащищенности указанных систем гарантируется лишь для идеализированных условий – переноса сигналов по квантовому каналу строго одиночными фотонами, а также отсутствия шумов и потерь в канале связи.

В реальных условиях техника приготовления однофотонных состояний, как правило, сводится к ослаблению лазерного импульсов до уровня, характеризуемого средним числом фотонов  $m$ . При такой технологии распределение  $p(n)$  значительно отклоняется от идеальной  $\delta$ -функции и описывается пуассоновской статистикой [7]

$$p(n) = \frac{e^{-m}}{n!} m^n. \quad (1)$$

Соотношение (1) показывает, что указанным способом приготовить идеальные однофотонные посылки не представляется возможным. Можно лишь с помощью параметра  $m$  регулировать вероятность их появления в сигнальном импульсе. В дальнейшем стохастические состояния фотонных посылок в квантовом канале, описываемые соотношением (1), будем называть квазиоднофотонными состояниями (КОС).

Вместе с отмеченным различием (1) от  $\delta(n)$ , для реального квантового канала характерно ненулевое значение погонного затухания линии  $\alpha_0$ , а также ограниченный уровень квантовой эффективности  $\eta$  фотоприемного устройства (ФПУ).

Несмотря на нарушения всех названных выше теоретических условий криптоустойчивости протоколов КРК, их безусловная защищенность может обеспечиваться и в реальных системах [8, 9]. Возможность такого усиления протокола основана на контроле сразу всех параметров КОС, искажаемых при возможных атаках некоего агента Е на квантовый канал системы КРК, а также за счет дополнения протокольных состояний КОС специальными состояниями-ловушками (decoy states-D-состояние) [9–11]. Указанные D-состояния формируются пользователем А путем динамического расщепления однофотонных состояний в разбалансированном интерферометре Маха–Цендера (ИМЦ). Таким образом, создается возможность не только простого статистического подсчета числа состояний-ловушек на обоих концах канала, но также и контроля фазовых соотношений между фрагментами расщепленного D-состояния, осуществляемого путем интерференционных измерений в ИМЦ.

К основным контролируемым скалярным параметрам системы КРК относятся  $P_f$ ,  $B$ , а также распределение  $p(n)$ . Считается, что защищенность ключа в указанных системах обеспечивается до тех пор, пока  $P_f$  не превысит критического уровня  $P_{f_{кр}} \sim 11\%$ , зависящего от скорости генерации ключа системой  $B$ , используемого протокола КРК длины  $L$  и шумов  $P_n$  квантового канала [9, 12].

Последний параметр удобно выразить через  $P_f$  и другой системный показатель  $P_l$  – вероятность пропуска сигнальных КОС на приемной стороне квантового канала. Для этого обозначим порог срабатывания компаратора ФПУ как  $U_0$ , выразим его через  $n$ , а  $P_n$  выразим через плотности вероятности шума  $p_n(n)$  и смеси сигнала с шумом  $p_c(n)$  [7]. Тогда

$$P_l = \int_{-\infty}^{U_0} p_c(n)dn, \quad P_f = \int_{-U_0}^{\infty} p_n(n)dn. \quad (2)$$

Скорость генерации системой КРК секретной ключевой последовательности (КП)  $B$  будет выражаться через введенные выше параметры  $P_l$ ,  $L$  и  $\alpha_0$  как [14]

$$B = B_0(1 - P_l)p(1)k_p 10^{\frac{\alpha L}{10}}, \quad (3)$$

где  $B_0$  – тактовая частота системы;  $k_p$  – коэффициент снижения скорости, предусмотренный конкретным протоколом КРК.

Формулы (1)–(3), дополненные шумовой моделью ФПУ системы [13], позволяют рассчитать двумерную зависимость  $B(P_f, \alpha_0 L)$ . Пример расчета такой поверхности дан на рис. 1. Здесь шаг изменений аргументов по оси  $\alpha L$  составляет 2,5 дБ, а по оси  $P_f$  – 3%. График получен для  $m = 0,1$  и ФПУ, рассчитанного на работу с ЛФД S8664-05K в линейном режиме с коэффициентом лавинного размножения 100 и темновым током  $0,15 \times 10^{-9}$  А.

С помощью  $B(P_f, \alpha_0 L)$  можно установить безопасные для конкретных видов атак агента Е границы значений скорости генерации КП  $B$  и длины квантового канала  $L$ . Отыскание данных границ и является целью настоящей работы.

**Границы безопасного режима систем КРК.** Рассмотрим классическую систему КРК с источником КОС, описываемым формулой (1). Как отмечалось выше, использование подобного рода неидеальных источников сопряжено с рисками реализации нескольких видов атак [8, 9, 12]. Наиболее опасные из них – PNS-атака (Photon Number Splitting), UM-атака (Unambiguous Measurements) и др. – связаны с переконфигурированием агентом Е квантового канала, а также различного рода сортировок транслируемых по нему КОС. В ходе этих сортировок из пользовательских КОС в канале целиком или полностью исключаются однофотонные состояния, что приводит к изменению статистик  $p_n(n)$  и  $p_c(n)$ . Естественно, что для обеспечения скрытности своей процедуры агенту Е необходимо сохранить значения строго контролируемых легитимными пользователями параметров  $B$  и  $P_f$ . Из формул (1)–(3) следует, что для этого достаточно изменить значения длины и погонного затухания квантового канала. Для отыскания этих значений пометим их штриховыми индексами ( $\alpha'$  и  $L'$ ) и подставим в (1)–(3). Получим общую систему уравнений для  $L'$  и  $\alpha'$ :

$$\begin{cases} (1 - P_l(L'))p(n') \cdot 10^{\frac{\alpha' L'}{10}} = (1 - P_l(L))p(1) \cdot 10^{\frac{\alpha L}{10}}, \\ P_f(L') = P_f(L). \end{cases} \quad (4)$$

Здесь  $p(n')$  – вероятности измененных в ходе атаки КОС.

Связь уравнений в системе (4) определяется критериями (2) сортировки гипотез о наличии или отсутствии КОС в моменты опроса компаратора ФПУ, т.е. соответствующим пороговым уровнем  $U_0$  и распределениями  $p_n(n)$ ,  $p_c(n)$ .

В случаях, когда шумами в квантовом канале можно пренебречь, т.е. мощность шума  $P_n$  можно считать сосредоточенной на входе ФПУ пользователя Б,

$$P'_f(L') = P_f(L), \quad P'_l(L') = P_l(L), \quad (5)$$

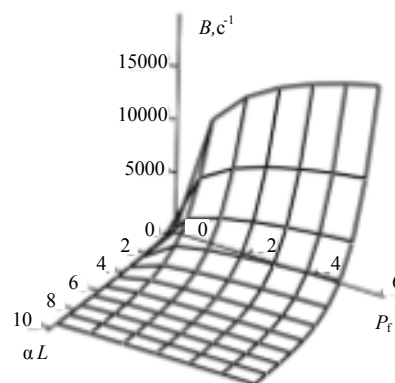


Рис. 1. Зависимость скорости генерации ключа от  $P_f$  и ослабления КОС в канале связи

уравнение (4) линеаризуется и сводится к элементарному виду:

$$\alpha'L' = \alpha L - [\lg(m(1)) - \lg(m(n'))]. \quad (6)$$

Из (6) следует, что агент Е получает необходимый для маскировки бюджет ослабления

$$\Delta\alpha L = \alpha L - \alpha'L'$$

КОС в квантовом канале лишь тогда, когда ослабление основного канала ( $\alpha L$ ) превысит критический уровень  $(\alpha L)_{кр}$ :

$$(\alpha L)_{кр} = [\lg(m(1)) - \lg(m(n'))]. \quad (7)$$

Последнее соотношение вместе с (3) определяют безопасную нижнюю границу  $B_{кр}$  скорости генерации системой ключевой последовательности, необходимую для обеспечения мониторинга статистической обработки КОС. Так, превышение текущего значения  $B$  уровня  $B_{кр}$  означает, что агент Е не располагает необходимым для организации конкретного вида атаки бюджетом ослабления  $\Delta\alpha L$ .

Условие (5), определяющее границы применимости (6), можно считать выполненным, например, в квантовом канале, построенном на основе волоконно-оптической линии связи (ВОЛС). Однако в другом важном для практики случае атмосферного канала указанное условие не выполняется. Здесь с увеличением его длины  $L$  имеет место накопление фонового рассеяния. В ФПУ фоновое излучение вызывает избыточный дробовой шум, снижающий помехоустойчивость системы. В данных условиях границы безопасной зоны  $(\alpha L)_{кр}$  необходимо отыскивать из решения нелинейного уравнения (4).

Рассмотрим, например, возможности организации PNS-атаки по ВОЛС. Как известно [8, 9, 12], данная атака сводится к тому, что агент Е неразрушающим образом измеряет в разрыве квантового канала числа фотонов в импульсах КОС. Однофотонные импульсы при этом блокируются, а пользователю Б транслируются только импульсы с двумя и более фотонами, один из которых агент Е сохраняет в своей квантовой памяти. Битовое состояние этого фотона агент Е может легко установить позднее, после раскрытия и согласования пользователями состояний соответствующих поляризационных базисов по классическому каналу.

Для определения критического затухания в случае PNS-атаки учтем, что  $p(n') = p(2)$ , тогда из (6) получим  $(\alpha L)_{кр} \sim 12,5$  дБ. Этот результат можно получить и прямым расчетом  $B$  по формуле (3). Соответствующие графики для параметров ФПУ к рис. 1, приведены на рис. 2.

Из рис. 2 видно, что необходимый для организации PNS-атаки бюджет ослабления в данных условиях составляет  $(\alpha L)_{кр} = \Delta\alpha L \sim 12,5$  дБ, а уровень  $B_{кр} \sim 1$  Кбит/с.

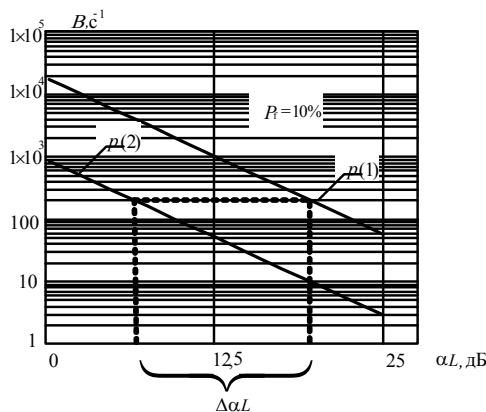


Рис. 2. Зависимость  $B$  от ослабления одно- и двух-фотонных КОС в ВОЛС

**Заключение.** Анализ приведенной выше модели системы КРК показывает, что усиление протокола за счет мониторинга статистики  $P_f$ ,  $B$  и распределения  $p(n')$  и установления границ  $B_{кр}$  и  $(\alpha L)_{кр}$  безопасных зон работы квантового канала для различных типов атак связано с учетом соответствующих статистик  $p(n)$ ,  $p_n(n)$  и  $p_c(n)$  в формулах (1)–(7).

Из этих же соотношений видно, что использование в системах КРК традиционных лазерных источников с пуассоновской статистикой приготовления КОС, значительно увеличивает риски организации атак на генерируемый ключ и существенно снижает скорость этой генерации.

#### Литература

1. Quantum cryptography: Public key distribution and coin tossing [Электронный ресурс]. – Режим доступа <http://www.cs.ucsb.edu/~chong/290N-W06/BB84.pdf> свободный (дата обращения: 27.07.2014).
2. Bennett C.H. Quantum cryptography using any two nonorthogonal states // Phys. Rev. Lett. – 1992. – Vol. 68, № 21. – P. 3121.
3. Ekert A. Quantum cryptography based on Bell's theorem // Phys. Rev. Lett. – 1991. – Vol. 67, № 6. – P. 661–663.

4. Бауместер Д. Физика квантовой информации / Д. Бауместер, А. Экерт, А. Цайлингер. – М.: Постмаркет, 2002. – 376 с.
5. Молотков С.Н. Квантовая криптография и теоремы В.А. Котельникова об одноразовых ключах и об отсчетах // Успехи физических наук. – 2006. – Т. 176, вып. 7. – С. 777–788.
6. Килин С.Я. Квантовая криптография: идеи и практика / С.Я. Килин, Д.Б. Хорошко, А.П. Низовцев. – Мн: Белорусская наука, 2008. – 392 с.
7. Куликов Е.И. Прикладной статистический анализ. – М.: Горячая линия-Телеком, 2008. – 464 с.
8. Молотков С.Н. О решении проблемы обеспечения стойкости квантовой криптографии для канала связи со сколь угодно большой длиной // Письма в ЖЭТФ. – 2011. – Т. 93, вып. 12. – С 830–836.
9. Молотков С.Н. О предельных возможностях квантового распределения ключей с контролем статистики неоднотонного источника // Письма в ЖЭТФ. – 2008. – Т. 87, вып. 10. – С. 674–679.
10. Hwang W.-Y. Quantum key distribution with high loss: Toward global secure communication // Phys. Rev. Lett. – 2003. – Vol. 91. – P. 057901.
11. Хорошко Д.Б. Квантовое распределение ключа на временных сдвигах с использованием состояний-ловушек / Д.Б. Хорошко, Д.И. Пустоход, С.Я. Килин // Оптика и спектроскопия. – 2010. – Т. 108, № 3. – С. 372–379.
12. Молотков С.Н. Об интегрировании квантовых систем засекреченной связи (квантовой криптографии) в оптоволоконные телекоммуникационные системы // Письма в ЖЭТФ. – 2004. – Т. 79. – С. 691–704.
13. Махорин Д.А. Возможность реализации линейного режима счета фотонов на лавинном фотодиоде S8664-05K при комнатной температуре / Д.А. Махорин, А.Б. Галиев, А.С. Задорин // Доклады ТУСУРа. – 2014. – № 1 (31). – С. 65–68.

---

**Задорин Анатолий Семенович**

Д-р физ.-мат. наук, профессор, зав. каф. радиоэлектроники и защиты информации (РЗИ) ТУСУРа  
Тел.: 8 (382-2) 41-33-65  
Эл. почта: Anatoly.Zadorin@rzi.tusur.ru

**Махорин Дмитрий Алексеевич**

Аспирант каф. РЗИ  
Тел.: 8-913-824-11-11  
Эл. почта: mda.tomsk@gmail.com

Zadorin A.S., Makhorin D.A.

**Statistical analysis of signals in quantum key distribution systems**

In the paper we propose a model of amplification protocol with quantum key distribution by monitoring the levels of statistical error rate of key generation and distribution of quasi-one-photon states in quantum channel. The boundaries of the safety zone of a quantum channel for different types of attacks has been set.

**Keywords:** quantum key distribution system, secure key generation zone, PNS-attack.